

К ВОПРОСУ О ДВУХНУКЛОННЫХ РЕЗОНАНСАХ

О.Д.Далькаров

В экспериментальной работе группы Беллеттини, Коккони, Дидденса и др. [1] было замечено аномальное поведение дифференциального сечения реакции



в зависимости от величины недостающей массы m_x . В районе $m_x = (2,33 \pm 0,01)$ Гэв обнаруживается отчетливо выраженный максимум с шириной $\Gamma = 250$ Мэв. В условиях эксперимента квадрат четырехмерного передаваемого импульса изменялся в пределах $10^{-3} < t (\text{Гэв}/c)^2 < 10^{-4}$.

В настоящей заметке предлагается механизм такого усиления, основанный на представлении о том, что налетающий протон взаимодействует с одним из нуклонов дейтрона, образуя изобару N^* , которая в дальнейшем неупруго рассеивается на другом нуклоне. В качестве N^* естественно выбрать изобару с массой $m_{N^*} = (1,4 \pm 0,01)$ Гэв ($\Gamma = 200$ Мэв), которая наблюдалась той же группой в реакции $p + p \rightarrow p + x$ и была выражена лучше остальных изобар.

Амплитуду реакции (I) в интересующей нас области можно представить в виде суммы диаграмм (см. рис. I), дающих вклад в амплитуду реакции (I).

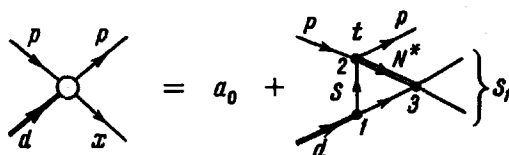


Рис. I

Здесь и в дальнейшем приняты следующие обозначения: S - квадрат энергии в с.ц.м. налетающих протона и дейтрона, S_1 - квадрат энергии в с.ц.м. частиц, вылетающих в вершине 2. Если через a_Δ обозначить амплитуду треугольной диаграммы, а через a_0 - амплитуду, отвечающую всем остальным членам, то дифференциальное сечение за-

пишется следующим образом: $d\sigma = |a_0 + a_\Delta|^2 d\tau$, $d\tau$ - фазовый объем конечных частиц реакции (I).

В данном эксперименте (при малых t) и $m_x = \sqrt{s_1} \approx m_N + m_{N^*}$ можно считать энерговыделения в вершинах 1, 2 и 3 малыми по сравнению с массами виртуальных частиц в треугольной диаграмме и, следовательно, всю диаграмму - нерелятивистской. Явное выражение для амплитуды a_Δ с постоянными вершинами имеет вид [2]:

$$a_\Delta = \frac{i}{8\pi} \frac{m_N m_{N^*}}{\sqrt{m_N m_x}} g_1 g_2 g_3 \frac{1}{t} h \frac{\sqrt{t} + \sqrt{t_\Delta}}{\sqrt{t} - \sqrt{t_\Delta}}, \quad (2)$$

где $t_\Delta = 2m_N m_{N^*} \left[\sqrt{\frac{\epsilon_d}{2m_N}} + \sqrt{\frac{\epsilon_{m_x}}{m_N + m_{N^*}}} \right]^2$, ϵ_d - энергия связи дейтрона; $\epsilon_{m_x} = m_N + m_{N^*} - m_x$, g_1, g_2, g_3 - амплитуды виртуальных реакций в вершинах 1, 2 и 3. Из (2) следует, что a_Δ имеет на физическом листе двигающуюся комплексную особенность по t при $t = t_\Delta(m_x)$. Положение особенности может быть также получено из общих соображений без непосредственного вычисления треугольной диаграммы [3, 4].

Если в выражении для дифференциального сечения реакции (I) выделить члены, линейные по a_Δ :

$$d\sigma = [|a_0|^2 + 4(\operatorname{Re} a_0 \operatorname{Re} a_\Delta + \operatorname{Im} a_0 \operatorname{Im} a_\Delta) + |a_\Delta|^2] d\tau,$$

то вычисления показывают, что достаточно хорошее согласие с экспериментом может быть достигнуто при учете только интерференционных членов, в частности, $\operatorname{Re} a_0 \operatorname{Re} a_\Delta$. Здесь всюду предполагается, что амплитуда a_0 - мало меняющаяся функция m_x . Фазовый объем трех нуклонов в конечном состоянии, проинтегрированный по углам вылета частиц в вершине 3, имеет вид: $d\tau_3 = \frac{2pp'}{(4\pi)^4 m_x s} \times d\Omega d\vec{n}$, где p, p' - величины импульсов в с.ц.м. частиц, вылетающих в вершине 3 и в с.ц.и. всех конечных частиц реакции, $d\vec{n}$ - телесный угол для вылета протона в с.ц.и. Окончательно дифференциальное сечение, измеряемое на опыте, запишем как

$$\frac{d^2\sigma}{d\vec{n}dS} = [|a_0|^2 + 4(\operatorname{Re} a_0 \operatorname{Re} a_\Delta + \operatorname{Im} a_0 \operatorname{Im} a_\Delta) + |a_\Delta|^2] f(m_x, S), \quad (4)$$

где $f(m_x, s) = \frac{2pp'}{(4\pi)^2 m_x s}$. В области $m_x \approx m_N + m_{N^*}$, $f(m_x, s)$ практически не изменяется. В случае вылета в вершине Z еще одной частицы (X - мезона) $f(m_x, s)$ также практически константа.

На рис. 2 и 3 изображены $Re a_\Delta$ и $|a_\Delta|^2$ в предположении $g_3 > 0$. Для сравнения приводятся экспериментальные данные из работы [1].

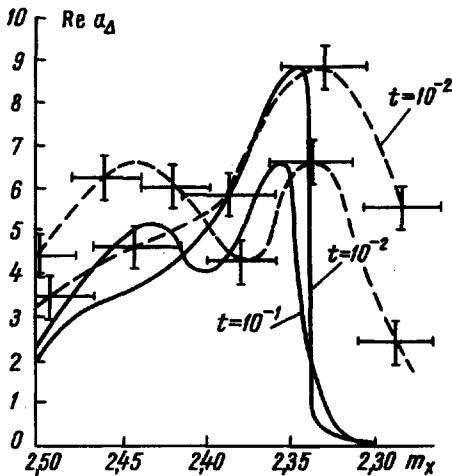


Рис. 2

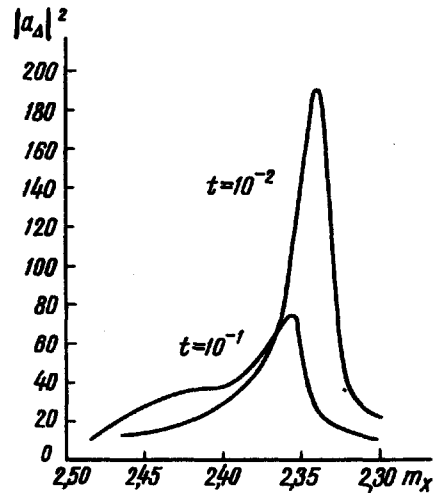


Рис. 3

Пунктирной кривой изображены экспериментальные данные для $t=10^{-1}, 10^{-2} (\Gamma \approx \hbar/c)^2$, взятые из работы [1]. Теоретические кривые нормированы в максимальных точках.

Квадрат амплитуды треугольной диаграммы $|a_\Delta|^2$ также дает максимум в этой области m_x , однако форма экспериментальной кривой лучше соответствует учету $Re a_\Delta, Re a_\Delta$ в выражении (4) для дифференциального сечения реакции (1).

Автор выражает глубокую благодарность И.С.Шапиро за постоянное внимание к работе и ценное обсуждение результатов.

Литература

- [1] G. Belletini, G. Cocconi, A.N. Diddens et al Phys. Lett., 18, 167, 1965.
- [2] И.С.Шапиро. Теория прямых ядерных реакций. Атомиздат, 1963.
- [3] Л.Д.Блохинцев, Э.И.Долгинский, В.С.Попов. ЖЭТФ, 43, 2290, 1962.
- [4] Б.Н.Валуев. ЖЭТФ, 47, 649, 1964.